

# Progetto di Meccatronica Robotic sorter

Tosi Ubaldo  
Passerella Filippo

December 29, 2024

# Contents

<b>1</b>	<b>Introduzione</b>	<b>2</b>
1.1	Divisione delle funzioni . . . . .	2
1.2	Modalità d'uso . . . . .	3
<b>2</b>	<b>Percezione</b>	<b>4</b>
<b>3</b>	<b>Attuazione</b>	<b>5</b>
3.1	Principio di funzionamento . . . . .	5
3.2	Reimpostazione periodica del PWM . . . . .	7
3.3	Cinematica inversa . . . . .	7
3.4	Test . . . . .	7
<b>4</b>	<b>Verifica finale</b>	<b>9</b>
<b>5</b>	<b>Problemi durante lo sviluppo</b>	<b>11</b>
<b>6</b>	<b>Conclusione</b>	<b>12</b>

# Chapter 1

# Introduzione

Abbiamo realizzato il controllo di un manipolatore per smistamento di cubi colorati.

Il sistema riconosce il colore del cubo posto sull'apposita pedana e lo riposiziona nella zona appropriata. Poi torna alla posizione iniziale, in attesa del cubo seguente.

Abbiamo provato il sistema in più condizioni e non ci sono noti casi di malfunzionamento in ambiente adatto.

## 1.1 Divisione delle funzioni

Abbiamo deciso di dividere il programma finale in due parti, un modulo di percezione e un modulo di attuazione.

Il primo si occupa di interfacciarsi con il sensore di colore e temporizzare il secondo. Il secondo controlla il manipolatore e gestisce i percorsi.

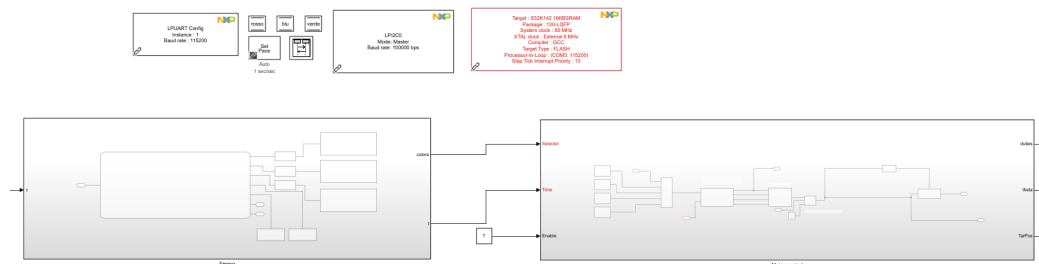


Figure 1.1: Moduli

Le funzioni dei due moduli erano sufficientemente indipendenti da poter essere sviluppati e verificati parallelamente.

Ottenuti dei prototipi funzionanti dei due moduli, abbiamo definito l'interfaccia che ha poi determinato la loro versione finale.

## 1.2 Modalità d'uso

Innanzitutto, occorre collegare l'hardware e accendere il dispositivo.

—————Foto o tabella dei collegamenti

Si vedrà il braccio posizionarsi nella configurazione di attesa.

Posizionare un cubo colorato sulla pedana e premere *sw2*.

Il manipolatore sposterà il cubo nella zona appropriata e tornerà nella configurazione di attesa.

## Chapter 2

## Percezione

# Chapter 3

## Attuazione

Il modulo di attuazione controlla l'uscita PWM per i servo-motori per guidare il braccio robotico lungo percorsi predefiniti.

Due input determinano il percorso da seguire e il punto corrente del percorso.

Altri input e output sono usati solo in fase di debug.

Il modulo è stato ideato per permettere un controllo semplice della velocità di esecuzione e flessibilità nella scelta del percorso.

### 3.1 Principio di funzionamento

I blocchi **Path1...Path4** restituiscono ognuno una matrice costante che rappresenta un percorso per il braccio robotico. Ogni riga rappresenta un punto chiave del percorso. A partire dai punti chiave vengono successivamente calcolati punti intermedi.

Ogni riga contiene 7 elementi:

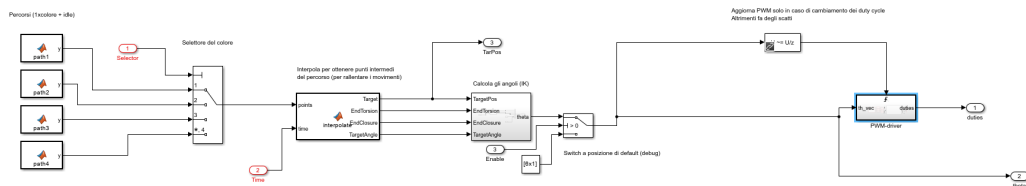


Figure 3.1: Diagramma completo

```

function y = path1()

% [Distanza angolo(asse) verticale orientazione(pinza) polso chiusura
% tempo
y = [
    30  9.6 10   180  0  0   0;
    30  14  4.5   180 90  0   4;
    30  14  4.5   180 90 73   8;
    30  9.6 10   180 90 73  12;
    120 9.6 10   180 90 73  16;
    120  12  9   180 90 73  20;
    120  16  4.5   180 90 73  24;
    120  16  4.5   180 90  0  28;
    120  12  9   180 90  0  32;
    30  9.6 10   180  0  0  36;
];

```

Figure 3.2: Esempio di percorso

- Distanza radiale in coordinate cilindriche dell'obiettivo dal centro della base del braccio robotico.
- Angolo in coordinate cilindriche dell'obiettivo.
- Distanza verticale in coordinate cilindriche dell'obiettivo dalla base del braccio robotico.
- Angolo tra il vettore parallelo all'ultimo segmento del manipolatore (positivo verso la pinza) e la verticale (positiva verso l'alto).
- Angolo del polso.
- Angolo di chiusura della pinza.
- Istante temporale del punto nel percorso.

L'input **Selector** determina quale percorso verrà usato.

Il blocco **Interpolate** genera un punto intermedio interpolando linearmente due punti successivi nel percorso in base all'input **Time**.

Parte del blocco serve a garantire le corrette dimensioni della matrice in ingresso.

Vengono usati i punti estremi se **Time** eccede gli istanti temporali estremi.

Il blocco successivo calcola gli angoli dei servo-motori a partire dal punto interpolato.

Lo switch che segue permette di sostituire gli angoli calcolati con angoli predefiniti, per portare il manipolatore in una configurazione sicura durante il debug.

Il blocco **PWM-driver** imposta le uscite PWM a partire dagli angoli desiderati.

Questo blocco viene eseguito solo se gli angoli desiderati cambiano.

## 3.2 Reimpostazione periodica del PWM

Se il blocco **PWM-driver** venisse attivato liberamente (senza trigger al cambiamento) i servo-motori subirebbero uno scatto dovuto alla reimpostazione del PWM, che avviene anche quando i duty-cycle non variano.

Per questo è importante usare il blocco **Detect Change**.

## 3.3 Cinematica inversa

Ci sono 6 motori in totale, denominati da M1 a M6.

M6 controlla la chiusura della pinza, M5 la rotazione del polso. I motori che determinano posizione e orientazione dell'end-effector sono 4.

M2, M3 e M4 possono spostare l'end-effector solo sul piano determinato da M1. Fissata la posizione dell'end-effector, è determinata la rotazione di M1 per avere l'allineamento. Fissata anche l'orientazione finale desiderata, anche la posizione di M4 è identificata. Data questa, M2 e M3 formano uno Scara con M4 come end-effector.

## 3.4 Test

Il sistema di attuazione è stato prima verificato in SIL e in PIL in più iterazioni.

Sono stati progressivamente aggiunti blocchi ad ogni iterazione che ha avuto successo, in questo ordine: PWM-driver, IK, Interpolate, Selector.



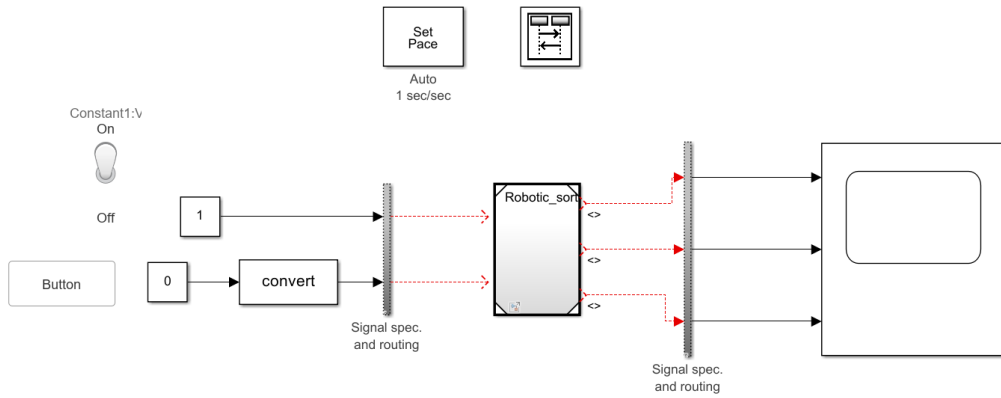


Figure 3.3: Harness del modulo di attuazione (screenshot scattato a fine progetto, differisce parzialmente da quello usato).

Le uscite di debug mostrano la posizione desiderata, gli angoli previsti e i duty cycle impostati.

Un input di debug permette di riportare il braccio in una posizione sicura ed è stato usato in PIL.

# Chapter 4

## Verifica finale

Sviluppati e verificati indipendentemente i due moduli, abbiamo cominciato la fase finale.

I due moduli sono stati combinati velocemente, grazie alla semplice interfaccia.

Ci siamo accorti di non poter fare simulazioni *in the loop* perché incompatibili con la periferica I2C.

Abbiamo usato la UART per verificare che tutto proseguisse come previsto durante la verifica.

Non abbiamo riscontrato problemi oltre all'impossibilità di usare SIL/PIL o i timer (per mandare messaggi temporizzati tramite UART). Così abbiamo subito potuto definire e verificare i percorsi.

Avevamo preparato delle bozze dei percorsi usando un modello del braccio realizzato e animato su Blender3D. Modificando queste in base alle verifiche abbiamo ottenuto dei percorsi che ci soddisfacessero.

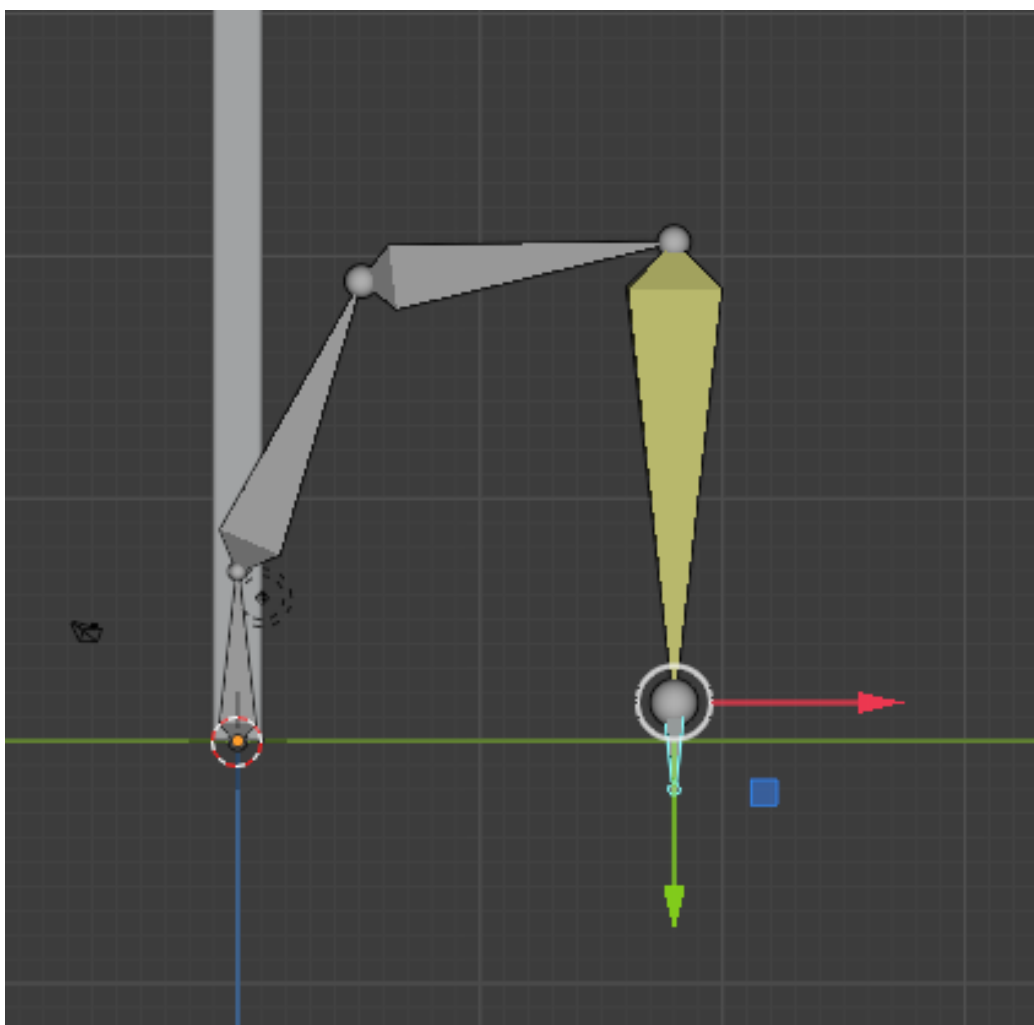


Figure 4.1: Armatura del braccio su Blender3D

# Chapter 5

## Problemi durante lo sviluppo

Durante i test PIL, due pezzi stampati 3D per la trasmissione della coppia da servo-motori a struttura si sono rotti. In particolare si sono spanati gli incastri per i servo-motori.

Il primo guasto è stato dovuto a un blocco di ritardo nell'harness: la condizione iniziale ha fatto piegare il braccio su se stesso all'avvio.

Il secondo guasto è stato dovuto alla base fissata male (svitando le viti si sono rovinati i fori) in seguito alle riparazioni del guasto precedente.

# Chapter 6

## Conclusione

Realizzata la parte funzionale, abbiamo preparato una base pieghevole su cui abbiamo montato la pedana di riconoscimento e dei cartoncini colorati per indicare le zone di smistamento.

Riguardo la parte di attuazione, i due passaggi chiave sono stati la riduzione dell'algoritmo IK a quello di uno scara e l'uso estensivo di SIL e PIL.

—————Bla bla bla

Noi possiamo ritenere con soddisfazione questo progetto un successo, dal punto di vista sia del risultato finale, sia della flessibilità e futura modificabilità della funzione, sia del processo in sé.